

# Analisi dimensionale: due interessanti applicazioni

Germano D'Abramo

Istituto di Astrofisica Spaziale e Fisica Cosmica,

Area di Ricerca CNR Tor Vergata, Roma, Italy

E-mail: dabramo@rm.iasf.cnr.it

5 Giugno 2003

## 1 Introduzione

Malgrado non sia molto conosciuta persino fra gli addetti ai lavori, l'*analisi dimensionale* costituisce uno degli strumenti più potenti e intriganti delle scienze fisiche.

Ma in cosa consiste? Brevemente, dato un sistema fisico complesso, come ad esempio la formazione di un'onda d'urto nucleare o la creazione di un cratere d'impatto, e definite tutte le variabili e le costanti fisiche che sembrano descrivere propriamente e completamente il processo, spesso risulta possibile scrivere in maniera univoca delle leggi matematiche (solitamente leggi di potenza) che forniscono la giusta dipendenza funzionale (dal punto di vista fisico) di una di queste variabili rispetto a tutte le altre. E questo può essere fatto semplicemente prendendo in considerazione le dimensioni fisiche fondamentali delle variabili e costanti fisiche coinvolte: lunghezza, massa, tempo, carica elettrica (in alcuni casi specifici anche la temperatura) e le loro combinazioni.

Un'applicazione immediata. Supponiamo di non sapere molto di cinematica e di voler ottenere la relazione matematica che lega l'accelerazione centripeta,  $a$ , la frequenza di rotazione,  $\omega^1$ , e la distanza dal centro,  $r$ , di un corpo che ruota a velocità uniforme lungo una traiettoria perfettamente

---

<sup>1</sup>La frequenza di rotazione è definita come  $2\pi/T$ , dove  $T$  è il periodo di rotazione.

circolare. Euristicamente parlando (e anche in base alla nostra esperienza diretta), è ragionevole immaginare che  $a$  dipenda proprio solo da  $\omega$  e  $r$ .

Consideriamo allora le dimensioni fisiche di  $a, \omega$  e  $r$ :

$$\begin{aligned} [a] &= L \cdot T^{-2}, \\ [\omega] &= T^{-1}, \\ [r] &= L. \end{aligned} \tag{1}$$

Il segno  $[x]$  sta per “le dimensioni fisiche di  $x$ ” e  $L$  sta per unità di *lunghezza* e  $T$  per unità di *tempo*.

Ora, l’unico modo di ottenere le dimensioni fisiche di  $a$  è di combinare  $\omega$  e  $r$  nella maniera che segue:

$$\omega^2 r. \tag{2}$$

Va notato che la quantità

$$\frac{a}{\omega^2 r}, \tag{3}$$

è adimensionale e che quindi risulta invariante per cambiamento di unità di misura, ad esempio passando da metri a chilometri, da secondi a ore.

Quindi, abbiamo che la (3) è una costante

$$\frac{a}{\omega^2 r} = k, \tag{4}$$

cioè

$$a = k\omega^2 r, \tag{5}$$

che è proprio la dipendenza funzionale che si otterrebbe sviluppando matematicamente la teoria cinematica del moto circolare uniforme.

Ovviamente, l’analisi dimensionale può fornire la dipendenza funzionale tra le variabili ma non è capace di definire le costanti moltiplicative adimensionali, la costante  $k$  nel nostro caso. Per queste sono indispensabili o una vera teoria fisica o un confronto diretto fra le relazioni ottenute e i dati sperimentali. Va detto inoltre, come vedremo in seguito, che tra i limiti di questo metodo di studio c’è che non sempre è possibile definire univocamente la relazione funzionale tra le variabili coinvolte e anche in questo caso è necessario, in mancanza di una vera teoria, un confronto diretto con i dati sperimentali. Per inciso, nel semplice caso analizzato sopra vale esattamente  $a = \omega^2 r$  (cioè la costante adimensionale  $k$  è proprio pari a 1).

Più in generale, supponiamo di avere una relazione funzionale tra una quantità  $a$ , che deve essere determinata in un esperimento, e un insieme di parametri  $(a_1, \dots, a_{n-1})$ , che sono sotto il controllo sperimentale. Sia  $a$  che l'insieme  $(a_1, \dots, a_{n-1})$  possiedono dimensioni fisiche. La forma generale della relazione può essere la seguente

$$a = f(a_1, \dots, a_{n-1}). \quad (6)$$

Ora, se il minimo numero di parametri nell'insieme  $(a, a_1, \dots, a_{n-1})$  con i quali posso ottenere tutte le dimensioni fisiche presenti nel mio problema è  $k < n$ , il Teorema  $\Pi$  di Buckingham [1], che rappresenta il risultato centrale dell'analisi dimensionale, afferma che il sistema fisico allo studio dipende da un insieme di  $n - k$  parametri adimensionali  $(\Pi_1, \dots, \Pi_{n-k})$ . Questi parametri sono combinazioni adimensionali indipendenti delle quantità  $(a, a_1, \dots, a_{n-1})$ ; essi sono indipendenti nel senso che, per ogni  $i$ , non è possibile ottenere  $\Pi_i$  da una combinazione di altri  $\Pi$ s.

In questo modo, l'eq. (6) può essere scritta come

$$\Pi_1 = \Phi(\Pi_2, \dots, \Pi_{n-k}), \quad (7)$$

dove  $\Phi$  è una funzione adimensionale generale. Ancora, per ottenere la forma esatta di  $\Phi$  abbiamo bisogno di una vera teoria del fenomeno fisico allo studio, o un confronto diretto con i dati sperimentali.

In questo articolo applichiamo le procedure dell'analisi dimensionale a due casi molto diversi fra loro (e con finalità diverse), ma entrambi piuttosto interessanti.

Nel primo caso (sezione **2**) si usa l'analisi dimensionale non per derivare una relazione funzionale tra quantità fisiche, ma per capire come cambia la scala temporale dei fenomeni fisici al cambiare del valore numerico dei parametri importanti, quali la gravità superficiale di un pianeta.

Nel secondo caso (sezione **3**), invece, utilizziamo l'analisi dimensionale nella maniera più canonica per ottenere una relazione matematica che legghi l'ampiezza di un'onda marina alla sua velocità. Applicazione immediata: la fisica degli *tsunami*<sup>2</sup>.

---

<sup>2</sup>Onde anomale particolarmente distruttive. Letteralmente *onde di porto*, dal giapponese *tsu* (porto) e *nami* (onda).

## 2 Moviola sulla Luna

Avete mai visto, proiettati a velocità doppia, i filmati degli astronauti che si muovono sulla superficie lunare? Se provate a farlo vi accorgete sicuramente di una caratteristica stupefacente: sembrano girati sulla Terra. I movimenti degli astronauti, i sobbalzi del rover motorizzato etc. sembrano proprio quelli naturali che si avrebbero se le stesse operazioni venissero compiute sulla Terra.

È questo un ulteriore elemento a favore della famigerata teoria secondo la quale la NASA non avrebbe mai portato l'uomo sulla Luna?

Molto probabilmente no. In ogni caso qui di seguito mostriamo come questo curioso comportamento sia legato semplicemente alla gravità superficiale dei pianeti.

In generale, ogni fenomeno dinamico la cui evoluzione nel tempo dipenda anche dalla gravità di un pianeta (ad esempio, un essere umano che cammina e salta, un palazzo che crolla sotto il proprio peso, una slavina o una colata di magma che scivolano a valle) ha un *tempo caratteristico* che dipende proprio dalla gravità superficiale. Il tempo caratteristico non è una costante fisica o un numero ben preciso, ma è un concetto generale. Per dare un'idea, il tempo caratteristico della vita umana è circa 80 anni, mentre quello della dinamica orbitale dei pianeti interni del Sistema Solare è dell'ordine dell'anno (periodo di rotazione della Terra intorno al Sole).

Ad esempio, una delle più semplici equazioni della cinematica ci dice che una biglia che cada da ferma in un campo gravitazionale costante  $g$  percorre nel tempo  $t$  uno spazio pari a

$$x = \frac{1}{2}gt^2. \quad (8)$$

Invertendo l'equazione (8), si ottiene il tempo in funzione dello spazio percorso

$$t = \sqrt{\frac{2x}{g}}. \quad (9)$$

L'equazione (9) ci mostra proprio la dipendenza del tempo caratteristico dalla costante gravitazionale  $g$ . Infatti, più grande è  $g$  e minore è il tempo impiegato dalla biglia per percorrere in caduta libera lo spazio  $x$ .

In generale, quindi, i tempi caratteristici con cui si verificano i fenomeni dinamici sulle superfici planetarie con gravità superficiali  $g_1$  e  $g_2$  scalano come

$$\frac{t_1}{t_2} = \sqrt{\frac{g_2 2x}{g_1 2x}}, \quad \text{cioè} \quad T_1 = T_2 \sqrt{\frac{g_2}{g_1}}. \quad (10)$$

Nel caso specifico dei filmati lunari il tempo caratteristico lunare  $T_{\text{L}}$  è pari a

$$T_{\text{L}} = T_{\oplus} \sqrt{\frac{g_{\oplus}}{g_{\text{L}}}} = T_{\oplus} \sqrt{\frac{9.78}{1.62}} \simeq 2.45 T_{\oplus}, \quad (11)$$

dove  $T_{\oplus}$ ,  $g_{\oplus}$  e  $g_{\text{L}}$  sono rispettivamente il tempo caratteristico terrestre, la costante di gravità superficiale terrestre e quella lunare (ricordiamo che la gravità superficiale lunare è circa 1/6 di quella terrestre).

Cioè,  $T_{\text{L}}$  è poco più di due volte maggiore del tempo caratteristico dei fenomeni dinamici sulla superficie terrestre. E quindi, se aumentiamo di due volte la velocità di proiezione dei filmati lunari otteniamo proprio l'impressione che i fenomeni dinamici si svolgano con la stessa tempistica dei fenomeni terrestri! Ricordiamo però che la relazione (11) vale solo per i fenomeni che sono soggetti alla forza di gravità: se fosse possibile intravvederle, noteremmo che le palpebre degli astronauti battono ad una velocità innaturalmente doppia!

### 3 Cavalcare lo tsunami

In questa sezione, sempre grazie all'ausilio dell'analisi dimensionale, deriveremo la relazione che lega l'ampiezza di un'onda marina alla sua velocità.

Attraverso questa relazione si può comprendere per linee generali il motivo fisico della formazione degli tsunami, ovvero delle tanto temute *onde anomale* che possono raggiungere altezze ragguardevoli in prossimità della riva ed essere altamente distruttive.

Cerchiamo in primo luogo di ottenere l'energia totale che può essere trasportata da un'onda marina. Come sarà chiaro nello sviluppo successivo, l'uso dell'analisi dimensionale ci esime dalla necessità di rappresentare (e semplificare) l'onda marina come *sinusoidale piana*, cioè periodica, il cui profilo segue perfettamente la funzione trigonometrica seno (o coseno) e il cui fronte è una linea retta *infinita*.

Visto che abbiamo a che fare con un fenomeno fisico che coinvolge l'acqua del mare, cominciamo ad elencare tutte le quantità fisiche che euristicamente ci aspettiamo possano entrare in gioco nella descrizione del fenomeno allo studio, insieme con le loro unità di misura.

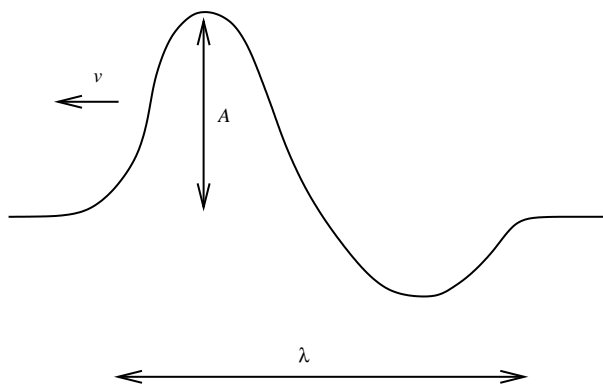


Figure 1: Rappresentazione schematica di un'onda, con le grandezze fisiche che la definiscono (per ovvi motivi non è rappresentata la densità  $\rho$ ).

Immaginiamo di essere interessati per prima cosa all'energia cinetica trasportata dall'onda per unità di superficie attraversata (che chiamiamo  $E_c/S$ ). Se parliamo di energia cinetica non possiamo allora non considerare la velocità dell'onda,  $v$ , che sicuramente influisce, così come la sua ampiezza,  $A$ , e la densità del mezzo in cui l'onda si propaga,  $\rho$ , che fanno le veci della massa nella classica relazione dell'energia cinetica  $E = \frac{1}{2}mv^2$ . È ovvio che in questo caso non possiamo utilizzare  $m$  perché non stiamo parlando di un oggetto dai contorni fisici ben definiti.

$$\frac{E_c}{S}, \rho, v, A, \lambda. \quad (12)$$

La lista (12) raccoglie quindi tutte le quantità fisiche considerate importanti. In realtà compare anche  $\lambda$ , che è la lunghezza d'onda dell'onda marina. Essa è una caratteristica geometrica dell'onda che non abbiamo ragione di escludere.

Per la derivazione di  $E_c/S$  non abbiamo preso in considerazione la costante di accelerazione gravitazionale  $g$ . Ci aspettiamo infatti che per  $E_c/S$  la gravità non sia rilevante e che l'energia cinetica sia determinata una volta fissate  $A$ ,  $\rho$ ,  $v$  e  $\lambda$ . Prenderemo in considerazione  $g$  più avanti quando deriveremo l'energia potenziale (gravitazionale) dell'onda.

Veniamo ora alle unità di misura (dimensioni) dei parametri in (12):

$$\begin{aligned}
[E_c/S] &= M \cdot T^{-2}, \\
[\rho] &= M \cdot L^{-3}, \\
[v] &= L \cdot T^{-1}, \\
[A] &= L, \\
[\lambda] &= L.
\end{aligned}
\tag{13}$$

dove  $M$  sta per unità di *massa*,  $T$  unità di *tempo* e  $L$  unità di *lunghezza*.

Dall'elenco (13) si può notare come con i parametri  $A$ ,  $\rho$  e  $v$  è possibile costruire, attraverso le giuste combinazioni, le dimensioni di tutti gli altri. Essi sono cioè i parametri dimensionali indipendenti del problema secondo la teoria dell'analisi dimensionale di Buckingham vista nell'introduzione. Sempre secondo la teoria, si ha che ci sono allora  $5 - 3 = 2$  parametri adimensionali

$$\Pi_1 = \frac{E_c/S}{\rho v^2 A}, \quad \Pi_2 = \frac{\lambda}{A},
\tag{14}$$

e quindi, per il Teorema II, la relazione funzionale generale che lega  $E_c/S$  a  $A$ ,  $\rho$ ,  $v$  e  $\lambda$  è

$$\frac{E_c}{S} = \rho v^2 A \Phi\left(\frac{\lambda}{A}\right),
\tag{15}$$

dove  $\Phi$  è una funzione adimensionale indeterminata, per ottenere la quale è necessaria una vera teoria o un confronto diretto con i dati sperimentali.

Ma qual'è il comportamento della funzione  $A\Phi(\lambda/A)$  al variare di  $A$  e  $\lambda$ ? Euristicamente ci aspettiamo che se  $A$  e/o  $\lambda$  aumentano, deve aumentare anche  $\frac{E_c}{S}$ . Infatti, se  $A$  e/o  $\lambda$  aumentano a parità di  $v$  e  $\rho$ , le dimensioni fisiche dell'onda aumentano e con loro la sua *massa* e dunque la sua energia cinetica. Quindi, la funzione  $\Phi(\lambda/A)$  deve essere proporzionale al rapporto  $\lambda/A$  per rendere conto dell'aumento di  $\Phi$  all'aumentare di  $\lambda$  (con  $A$  fissato). Inoltre,  $A\Phi(\lambda/A)$  deve crescere all'aumentare di  $A$ , con  $\lambda$  costante. Ne consegue che all'aumentare di  $A$ ,  $\Phi(\lambda/A)$  deve diminuire (e diminuisce poiché il rapporto  $\lambda/A$  diminuisce) più lentamente di  $A$  per ogni valore di  $\lambda$ . Un semplice esempio di funzione  $\Phi$  che soddisfa queste caratteristiche potrebbe essere il seguente

$$\frac{E_c}{S} = k_c \rho v^2 A^\alpha \lambda^\beta,
\tag{16}$$

dove  $k_c$  è una costante adimensionale sconosciuta,  $\alpha$  e  $\beta$  sono due numeri qualunque ma maggiori di zero e tali che  $\alpha + \beta = 1$ .

Come anticipato poco fa, l'onda marina trasporta anche energia potenziale gravitazionale, per il semplice fatto che una certa massa d'acqua, il picco dell'onda, è sollevata rispetto al pelo libero della superficie del mare. Cerchiamo allora di derivare euristicamente l'energia potenziale dell'onda che attraversa l'unità di superficie,  $E_p/S$ . Come prima, le quantità fisiche da cui  $E_p/S$  può dipendere sono la densità  $\rho$  dell'acqua, che mutua la *massa dell'onda*, l'ampiezza  $A$  e la lunghezza d'onda  $\lambda$  che esprimono la grandezza (altezza e lunghezza) dell'onda con cui abbiamo a che fare e infine la costante di accelerazione gravitazionale  $g$ , che tiene conto della forza di gravità rispetto alla quale l'onda possiede un'energia potenziale.

Passando alle unità di misura (dimensioni), si ha:

$$\begin{aligned} [E_p/S] &= M \cdot T^{-2}, \\ [\rho] &= M \cdot L^{-3}, \\ [A] &= L, \\ [\lambda] &= L, \\ [g] &= L \cdot T^{-2}. \end{aligned} \tag{17}$$

Anche qui, scegliendo come parametri indipendenti  $A$ ,  $\rho$  e  $g$ , si ha che ci sono  $5 - 3 = 2$  parametri adimensionali

$$\Pi_1 = \frac{E_p/S}{\rho g A^2}, \quad \Pi_2 = \frac{\lambda}{A}, \tag{18}$$

e quindi, sempre secondo il Teorema  $\Pi$ , la relazione funzionale generale che lega  $E_p/S$  a  $A$ ,  $\rho$ ,  $g$  e  $\lambda$  è

$$\frac{E_c}{S} = \rho g A^2 \Psi \left( \frac{\lambda}{A} \right), \tag{19}$$

dove  $\Psi$  è una funzione adimensionale indeterminata, per ottenere la quale, di nuovo, è necessaria una vera teoria o un confronto diretto con i dati sperimentali. Anche in questo caso, il comportamento della funzione  $A^2 \Psi(\lambda/A)$  è molto simile a quello della funzione  $A \Phi(\lambda/A)$ . Infatti, al crescere di  $A$  e/o  $\lambda$  l'onda cresce in dimensioni e più l'onda è grande, maggiore è la sua energia potenziale, cioè  $\frac{E_p}{S}$ .

Quindi, come prima, la funzione  $\Psi(\lambda/A)$  deve essere proporzionale al rapporto  $\lambda/A$  per rendere conto dell'aumento di  $\Psi$  all'aumentare di  $\lambda$  (con



$A$  fissato). Ma  $A^2\Psi(\lambda/A)$  deve crescere all'aumentare di  $A$ , con  $\lambda$  costante: ne consegue che all'aumentare di  $A$ ,  $\Psi(\lambda/A)$  deve diminuire più lentamente di  $A^2$  per ogni valore di  $\lambda$ . Come prima, un semplice esempio di funzione  $\Psi$  che soddisfa queste caratteristiche potrebbe essere il seguente

$$\frac{E_p}{S} = k_p \rho g A^\gamma \lambda^\delta, \quad (20)$$

dove, ancora,  $k_p$  è una costante adimensionale sconosciuta e  $\gamma$  e  $\delta$  due numeri positivi tali che  $\gamma + \delta = 2$ .

Ma ora torniamo agli tsunami. Se trascuriamo le dissipazioni legate all'attrito interno dell'acqua e con la sabbia della riva poco prima dell'impatto dell'onda, possiamo considerare l'energia totale dell'onda che attraversa l'unità di superficie,  $E_t/S$ , come una quantità quasi costante durante la fase di formazione dello tsunami, cioè

$$\frac{E_t}{S} = \frac{E_c}{S} + \frac{E_p}{S} \simeq K_t, \quad (21)$$

per cui la relazione funzionale che ci fornisce  $\frac{E_t}{S}$  è

$$\rho v^2 A \Phi\left(\frac{\lambda}{A}\right) + \rho g A^2 \Psi\left(\frac{\lambda}{A}\right) \simeq K_t. \quad (22)$$

A questo punto, nei pressi della spiaggia  $v$  deve necessariamente diminuire (si avvicina ad una zona dove non c'è più acqua!), così come deve ridursi la lunghezza d'onda  $\lambda$ : in un certo senso l'onda marina rallenta e si comprime in prossimità della riva. Dall'equazione (22) risulta allora chiaro che se  $v$  e  $\lambda$  diminuiscono, affinché  $E_t/S$  rimanga quasi costante è necessario che  $A$  aumenti! Non c'è altra possibilità di soddisfare tale vincolo, visti i comportamenti di  $A\Phi(\lambda/A)$  e  $A^2\Psi(\lambda/A)$  analizzati più sopra; per ogni valore istantaneo di  $\lambda$ , l'aumento di  $A$  implica l'aumento di  $A\Phi(\lambda/A)$  e  $A^2\Psi(\lambda/A)$ .

Per completezza va detto che la relazione (22) è stata ottenuta non tenendo conto dell'influenza che potrebbe avere la profondità del fondale (nelle equazioni (15) e (19) la profondità  $h$  non compare): questo ha reso la derivazione della (22) alquanto diretta, ma ha anche confinato il *range* di applicabilità in quella che può essere chiamata *zona asintotica*, quella zona dove il fondale non influisce poiché ha una profondità il cui valore numerico è molto più grande di quello dell'ampiezza dell'onda ( $h \gg A$ ).

Ma allora dobbiamo credere o no alla dipendenza funzionale di  $A$  da  $v$  in prossimità della riva mostrata dalla (22)? La risposta rigorosa è no, tuttavia

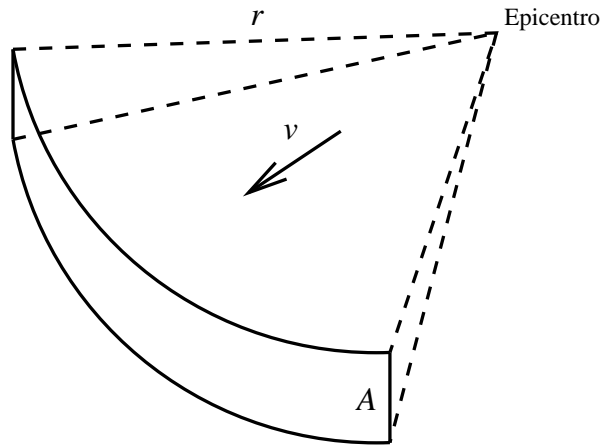


Figure 2: Esempificazione grafica del fattore di attenuazione geometrica dell'energia dell'onda (eq. 23).

se  $\lambda$  è originariamente (ovvero quando  $h \gg A$ ) più grande della lunghezza del tratto di mare in cui il fondale passa da  $h \gg A$  a  $h \simeq A$ , allora possiamo dire che la relazione (22) è accettabile.

In ogni caso, la (22) ci mostra indicativamente qual'è la tendenza di  $A$  in funzione di  $v$  quando  $v$  diminuisce in prossimità della riva.

A questo punto può essere utile fornire qualche informazione relativa a tsunami verificatisi realmente in passato [2]. Molti degli tsunami di cui si ha documentazione storica (anche fotografica, vedi fig. 3) hanno avuto origine nell'Oceano Pacifico. Nell'Oceano Pacifico, dove la profondità media delle acque è circa di 4000 metri, uno tsunami viaggia ad una velocità compresa tra i 700 e i 1000 chilometri orari (la velocità di crociera di un jet di linea). Inoltre, la sua ampiezza è spesso minore di un metro, mentre la sua lunghezza d'onda è mediamente di 100 chilometri (il passaggio di un'onda di tsunami in alto mare non può essere praticamente percepita). In prossimità della riva, tuttavia, l'ampiezza dell'onda sale mediamente fino ad un massimo di 30 metri!

Passiamo ora a occuparci brevemente della quantità  $K_t$ , l'energia totale dell'onda marina per unità di superficie attraversata. Supponiamo che un'onda anomala sia generata in alto mare da un evento naturale di grandi proporzioni (terremoto, impatto asteroidale, improvvise modificazioni orografiche o eruzioni vulcaniche subacquee, etc.) e che l'energia trasferita al moto dell'acqua sia  $E$  (che sarà solo una frazione dell'energia totale sprigion-

ata dall'evento). Ora, se il tratto di mare in cui si verifica il passaggio da  $h \gg A$  a  $h \simeq A$  (e in cui c'è la riva) dista  $r$  dall'epicentro del fenomeno, allora possiamo supporre che  $K_t$  abbia il seguente andamento funzionale

$$K_t \propto \frac{E}{rA_{h \gg A}}, \quad (23)$$

dove il fattore  $\frac{1}{rA_{h \gg A}}$  tiene conto dell'attenuazione dovuta alla geometria: l'energia si distribuisce approssimativamente sul bordo di una circonferenza di raggio  $r$  e per un'altezza dell'ordine di  $A_{h \gg A}$  (che è l'ampiezza dell'onda anomala prima che incontri la riva e si trasformi in tsunami), e quindi la superficie su cui si distribuisce è in qualche modo proporzionale a  $rA_{h \gg A}$ .

## References

- [1] Buckingham, E., 1914. On physically similar systems; Illustrations on the use of dimensional equations. *Phys. Rev.*, **4**, 345–376.
- [2] The Physics of Tsunamis. The mechanisms of tsunami generation and propagation. Web site:  
[www.geophys.washington.edu/tsunami/general/physics/physics.html](http://www.geophys.washington.edu/tsunami/general/physics/physics.html)

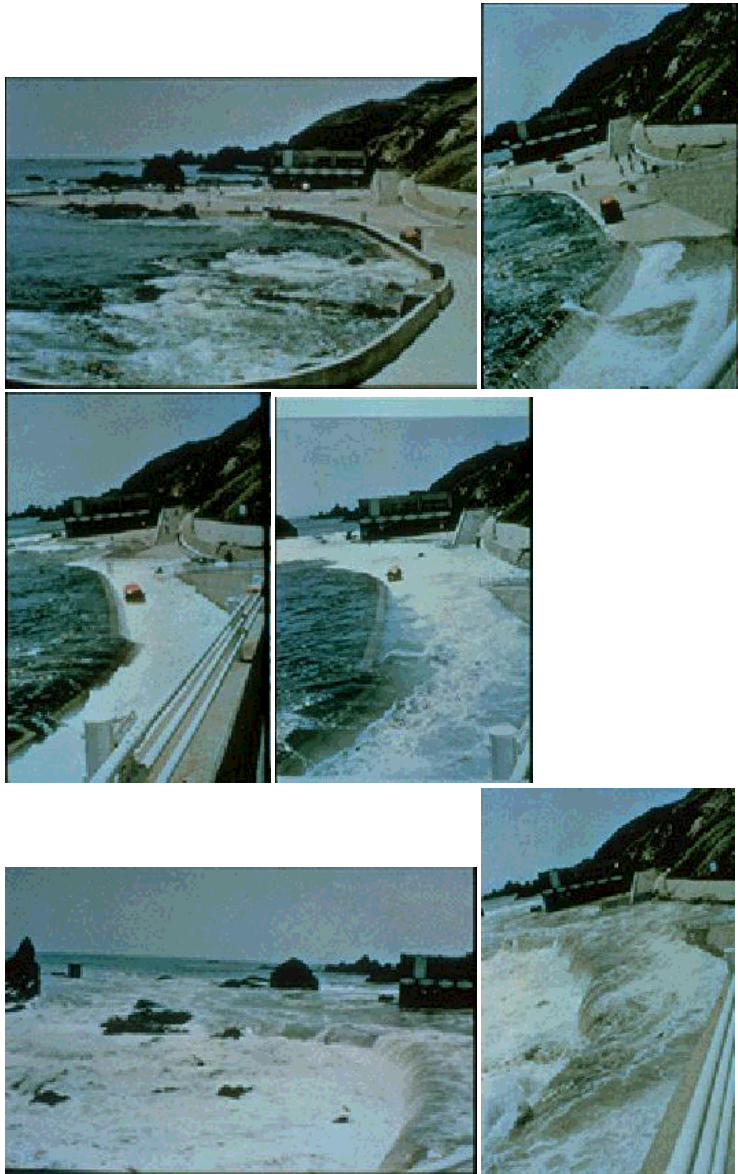


Figure 3: Costa giapponese, 1983.